

Matlab: complessità e stabilità degli algoritmi. Alcuni esempi.

Ángeles Martínez Calomardo e Alvise Sommariva

Università degli Studi di Padova

1 novembre 2012

Esempio di algoritmo instabile

Formula risolutiva dell'equazione di secondo grado

Dato $x^2 + 2px - q$, con $p^2 + q \geq 0$ eseguiamo un primo algoritmo Matlab che valuta la radice via:

$$y = -p + \sqrt{p^2 + q}. \quad (1)$$

- ▶ $p^2 + q \geq 0$ implica radici reali.
- ▶ Potenzialmente instabile per $p \gg q$ a causa della sottrazione tra p e $\sqrt{p^2 + q}$ (cancellazione).

Valutiamo la radice con un secondo algoritmo stabile via razionalizzazione di (1):

$$\begin{aligned} y &= -p + \sqrt{p^2 + q} = \frac{(-p + \sqrt{p^2 + q})(p + \sqrt{p^2 + q})}{(p + \sqrt{p^2 + q})} \\ &= \frac{q}{(p + \sqrt{p^2 + q})} \end{aligned} \quad (2)$$

Codice stabilità : algoritmo 1

Salviamo il seguente codice in `radicesecgrado.m`.

```
p=1000; q=0.018000000081; sol=0.9*10^(-5);  
  
% ALGORITMO 1  
s=p^2;  
t=s+q;  
if t >=0  
    u=sqrt(t);  
else  
    fprintf('\n \t [RADICI COMPLESSE]');  
end  
s1=-p+u;
```

Codice stabilità : algoritmo 2

```
% ALGORITMO 2
s=p^2;
t=s+q;
if t >=0
    u=sqrt(t);
else
    fprintf ('\n \t [RADICI COMPLESSE] ');
end
v=p+u;
t1=q/v;
```

Codice stabilità : stampa risultati

```
fprintf( '\n \t [ALG.1]: %10.19f ',s1);
fprintf( '\n \t [ALG.2]: %10.19f ',t1);
if length(sol) > 0 & (sol ~= 0)
    rerr1 =abs(s1-sol)/abs(sol);
    rerr2=abs(t1-sol)/abs(sol);
    fprintf( '\n \t [REL.ERR.ALG.1]: %2.2e ',rerr1);
    fprintf( '\n \t [REL.ERR.ALG.2]: %2.2e ',rerr2);
end
```

Test.

Come previsto, il secondo algoritmo si comporta notevolmente meglio del primo, che compie un errore relativo dell'ordine di circa 10^{-9} . Infatti:

```
>> radicesecgrado  
  
[ALG.1] [1]: 0.0000089999999772772  
[ALG.2] [1]: 0.0000090000000000000  
[REL. ERR.] [ALG.1]: 2.52e-009  
[REL. ERR.] [ALG.2]: 0.00e+000  
  
>>
```

Calcolo π

Eseguiamo un codice Matlab che valuti le successioni $\{u_n\}$, $\{z_n\}$, definite rispettivamente come

$$\begin{cases} s_1 = 1, \quad s_2 = 1 + \frac{1}{4} \\ u_1 = 1, \quad u_2 = 1 + \frac{1}{4} \\ s_{n+1} = s_n + \frac{1}{(n+1)^2} \\ u_{n+1} = \sqrt{6 s_{n+1}} \end{cases}$$

e

$$\begin{cases} z_1 = 1, \quad z_2 = 2 \\ z_{n+1} = 2^{n-\frac{1}{2}} \sqrt{1 - \sqrt{1 - 4^{1-n} \cdot z_n^2}} \end{cases} \quad (3)$$

che *teoricamente* convergono a π .

Calcolo π

Implementiamo poi la successione, diciamo $\{y_n\}$, che si ottiene razionalizzando (3), cioè moltiplicando numeratore e denominatore di

$$z_{n+1} = 2^{n-\frac{1}{2}} \sqrt{1 - \sqrt{1 - 4^{1-n} \cdot z_n^2}}$$

per

$$\sqrt{1 + \sqrt{1 - 4^{1-n} \cdot z_n^2}}$$

e calcoliamo u_m , z_m e y_m per $m = 2, 3, \dots, 40$ (che teoricamente dovrebbero approssimare π).

Infine disegniamo in un unico grafico l'andamento dell'errore relativo di u_n , z_n e y_n rispetto a π aiutandoci con l'help di Matlab relativo al comando `semilogy`.

Calcolo π : metodo 1

In seguito scriviamo un'implementazione di quanto richiesto commentando i risultati. Si salvi in un file `pigreco.m` il codice

```
% SEQUENZE CONVERGENTI "PI GRECO".
```

```
% METODO 1.  
s(1)=1; u(1)=1;  
s(2)=1.25; u(2)=s(2);  
for n=2:40  
    s(n+1)=s(n)+(n+1)^(-2);  
    u(n+1)=sqrt(6*s(n+1));  
end  
rel_err_u=abs(u-pi)/pi;  
  
fprintf( '\n' );
```

Calcolo π : metodo 2

```
% METODO 2.  
format long  
z(1)=1;  
z(2)=2;  
for n=2:40  
    c=(4^(1-n)) * (z(n))^2; inner_sqrt=sqrt(1-c);  
    z(n+1)=(2^(n-0.5))*sqrt( 1-inner_sqrt );  
end  
rel_err_z=abs(z-pi)/pi;  
  
fprintf( '\n' );
```

Calcolo π : metodo 3

```
% METODO 3.  
y(1)=1;  
y(2)=2;  
for n=2:40  
    num=(2^(1/2)) * abs(y(n));  
    c=(4^(1-n)) * (z(n))^2;  
    inner_sqrt=sqrt(1-c);  
    den=sqrt( 1+inner_sqrt );  
    y(n+1)=num/den;  
end  
rel_err_y=abs(y-pi)/pi;
```

Calcolo π : plots

```
% SEMILOGY PLOT.  
hold on;  
semilogy(1:length(u),rel_err_u,'k.');//  
semilogy(1:length(z),rel_err_z,'m+');//  
semilogy(1:length(y),rel_err_y,'ro');//  
hold off;
```

Di seguito digitiamo sulla shell di Matlab/Octave

```
|>> pigreco
```

Plot risultati

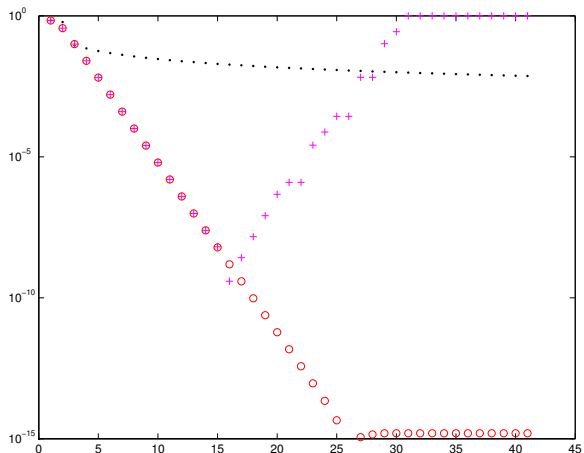


Figura : Errore relativo commesso con le 3 successioni, rappresentate rispettivamente da ., + e o.

Discussione risultati.

- ▶ La prima successione converge molto lentamente a π , la seconda diverge mentre la terza converge velocemente a π .
- ▶ Per alcuni valori $\{z_n\}$ e $\{y_n\}$ coincidono per alcune iterazioni per poi rispettivamente divergere e convergere a π . Tutto ciò è naturale poichè le due sequenze sono analiticamente (ma non numericamente) equivalenti.
- ▶ Dal grafico dell'errore relativo, la terza successione, dopo aver raggiunto errori relativi prossimi alla precisione di macchina, si assesta ad un errore relativo di circa 10^{-15} (probabilmente per questioni di arrotondamento).

L'algoritmo 2 in dettaglio

Successione approssimante π

Nell'approssimare il valore di π con la seguente formula ricorsiva

$$\begin{aligned} z_2 &= 2 \\ z_{n+1} &= 2^{n-0.5} \sqrt{1 - \sqrt{1 - 4^{1-n} z_n^2}}, \quad n = 2, 3, \dots, \end{aligned}$$

si ottiene la seguente successione di valori (dove si è posto $c = 4^{1-n} z_n^2$).

$n + 1$	c	$1 - \sqrt{1 - c}$	z_{n+1}	$\frac{ z_{n+1} - \pi }{\pi}$
...
10	1.505e-04	7.529e-05	3.14157294036	6.27e-06
11	3.764e-05	1.882e-05	3.14158772527	1.57e-06
12	9.412e-06	4.706e-06	3.14159142150	3.92e-07
13	2.353e-06	1.176e-06	3.14159234561	9.80e-08
14	5.882e-07	2.941e-07	3.14159257654	2.45e-08
15	1.470e-07	7.353e-08	3.14159263346	6.41e-09
16	3.676e-08	1.838e-08	3.14159265480	3.88e-10
17	9.191e-09	4.595e-09	3.14159264532	2.63e-09
18	2.297e-09	1.148e-09	3.14159260737	1.47e-08
19	5.744e-10	2.872e-10	3.14159291093	8.19e-08
...
28	2.220e-15	1.110e-15	3.16227766016	6.58e-03
29	5.551e-16	3.330e-16	3.46410161513	1.03e-01
30	1.665e-16	1.110e-16	4.00000000000	2.73e-01
31	5.551e-17	0.000e+00	0.00000000000	1.00e+00
32	0.000e+00	0.000e+00	0.00000000000	1.00e+00

Una successione ricorrente.

Consideriamo la successione $\{I_n\}$ definita da

$$I_n = e^{-1} \int_0^1 x^n e^x dx \quad (4)$$

- ▶ $n = 0$: $I_0 = e^{-1} \int_0^1 e^x dx = e^{-1}(e^1 - 1).$
- ▶ integrando per parti

$$\begin{aligned} I_{n+1} &= e^{-1} \left(x^{n+1} e^x \Big|_0^1 - (n+1) \int_0^1 x^n e^x dx \right) \\ &= 1 - (n+1) I_n. \end{aligned}$$

- ▶ $I_n > 0$, decrescente e si prova che $I_n \rightarrow 0$ come $1/n$.

Problema.

Calcoliamo I_n per $n = 1, \dots, 99$:

- ▶ mediante la successione *in avanti*

$$\begin{cases} I_0 = e^{-1}(e^1 - 1) \\ I_{n+1} = 1 - (n + 1)I_n. \end{cases} \quad (5)$$

- ▶ mediante la successione *all'indietro*

$$\begin{cases} t_{1000} = 0 \\ t_{n-1} = (1 - t_n)/n. \end{cases}$$

Si noti che se $I_{n+1} = 1 - (n + 1)I_n$ allora $I_n = (1 - I_{n+1})/(n + 1)$ e quindi $I_{n-1} = (1 - I_n)/n$.

Successione ricorrente in Matlab

Scriviamo il codice in un file `succricorrente.m`.

```
% SUCCESSIONE RICORRENTE.  
clear all;  
% SUCCESSIONE "s_n".  
s(1)=exp(-1);  
for n=1:99  
    s(n+1)=1-(n+1)*s(n);  
end  
% SUCCESSIONE "t_n".  
M=1000;  
t=zeros(M,1); % INIZIALIZZAZIONE "t".  
for n=M:-1:2  
    j=n-1;  
    t(j)=(1-t(n))/n;  
end
```

Successioni ricorrente in Matlab

```
% PLOT SEMI-LOGARITMICO.  
clf;  
hold on;  
semilogy(1:length(s),abs(s),'k-');  
semilogy(1:length(s),abs(t(1:length(s))), 'm-');  
hold off;
```

Di seguito digitiamo sulla shell di Matlab/Octave

```
|>> succricorrente
```

Plot risultati

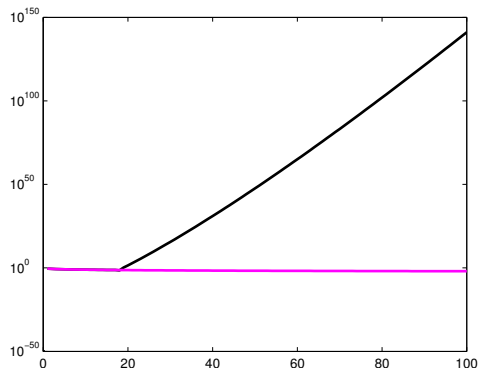


Figura : Grafico che illustra i valori assoluti assunti dalla successione in avanti (in nero) e all'indietro (in rosa magenta).

Instabilità della formula ricorsiva

La formula $I_n = 1 - n I_{n-1}$ è instabile, quindi amplifica l'errore ad ogni passo.

Infatti, nel calcolatore

$$(I_n + \varepsilon_n) = 1 - n(I_{n-1} + \varepsilon_{n-1}).$$

Sottraendo dalla precedente equazione la relazione $I_n = 1 - nI_{n-1}$ si può quantificare l'errore:

$$\varepsilon_n = -n \varepsilon_{n-1}, \quad \text{e per induzione} \quad |\varepsilon_n| = n! |\varepsilon_0|$$

Il fattore $n!$ amplifica l'errore di rappresentazione iniziale (su I_0), ε_0 .

- **Esempio.** Nel calcolo di I_{20} l'errore è $\varepsilon_{20} = 20! \varepsilon_0 \approx 2.7 \cdot 10^2$.

Formula alternativa stabile

La formula all'indietro smorza l'errore

Per l'errore al passo $n - 1$ si trova

$$\varepsilon_{n-1} = \frac{-1}{n} \varepsilon_n.$$

Partendo da m

$$|\varepsilon_{m-1}| = \frac{|\varepsilon_m|}{m}, \quad |\varepsilon_{m-2}| = \frac{|\varepsilon_m|}{m(m-1)}, \dots, |\varepsilon_{m-k}| = \frac{|\varepsilon_m|}{m(m-1) \cdots (m-k+1)}.$$

- ▶ La produzione al denominatore abbatta rapidamente l'errore iniziale!
- ▶ Per esempio, per calcolare I_{25} partendo da $I_{40} = 0.5$, l'errore iniziale $|\varepsilon_{40}| < 0.5$ verrebbe abbattuto di un fattore

$$40 \cdot 39 \cdots 27 \cdot 26 = 5.2602 \cdot 10^{22}$$

Complessità : potenza di matrice.

Problema: calcolare la potenza p -esima di una matrice quadrata A di ordine n cioè

$$A^p := \underbrace{A * \dots * A}_{p \text{ volte}}$$

senza usare l'operatore di elevamento a potenza \wedge .

Primo algoritmo. Si può implementare il seguente pseudocodice

```
B=I;  
for i=1:p  
    B=B*A;  
end
```

in cui I è la matrice identica di ordine n e $*$ è il classico prodotto tra matrici.

Complessità : potenza di matrice.

Secondo algoritmo. Alternativamente (in maniera più stabile ed efficiente) si può decomporre p come

$$p = \sum_{i=0}^M c_i 2^i$$

ove $M = \lfloor \log_2 p \rfloor$ e $c_i = 0$ oppure $c_i = 1$. Si osserva facilmente che questa è la classica rappresentazione di p in base 2. Usando la proprietà della potenze

$$\begin{aligned} B &= A^p = A^{\sum_{i=0}^M c_i 2^i} = A^{\sum_{i=0}^M 2^i c_i} \\ &= (A^{2^0})^{c_0} * \dots * (A^{2^M})^{c_M} = \prod_{i=0}^M (A^{2^i})^{c_i} \end{aligned} \quad (6)$$

ove ogni termine A^{2^i} può essere calcolato come $A^{2^{i-1}} A^{2^{i-1}}$.

Complessità : potenza di matrice.

Confrontiamo i due metodi per $p = 6$. Nel primo si calcola A^6 come

$$A^6 = A * A * A * A * A * A$$

e quindi sono necessari 5 prodotti tra matrici. Nel secondo caso essendo $6 = 0 * 2^0 + 1 * 2^1 + 1 * 2^2$ si ha

$$A^6 = (A^2) * (A^4).$$

Calcolati $A^2 = A * A$ ed in seguito $A^4 = (A^2) * (A^2)$, abbiamo finalmente A^6 con solo 3 prodotti tra matrici ma con lo storage addizionale di alcune matrici in memoria.

Complessità : potenza di matrice.

Un codice che produce la decomposizione in potenze di 2 di un numero p è il seguente:

```
q=p;
M=floor(log2(p))+1;
c=[];
for i=1:1:M
    c(i)=mod(q,2);
    q=floor(q/2);
end
```

Complessità : potenza di matrice.

Un pseudocodice che implementa il secondo algoritmo è

```
p=100; n=200;
c=trasforma_in_binario(p);
A=rand(n);
B=eye(n);
C=A;
M=floor(log2(p));

% B contiene la potenza di A finora calcolata.
% C contiene la potenza A^(2^index) finora calcolata.

for index=0:M
    j=index+1;
    if c(j) == 1
        B=B*C;
    end
    C=C*C;
end
```

Complessità : potenza di matrice.

Esercizio per casa.

Si implementino i due algoritmi proposti per il calcolo della potenza di matrice tramite due functions (senza usare l'operatore \wedge) e si calcoli l'errore relativo in norma infinito rispetto all'elevamento a potenza di Matlab o Octave per diverse matrici e potenze ($n = 25, 50$ e $p = 20, 40$). Si confrontino poi i tempi di esecuzione delle due functions per il calcolo di A^{100} , con A matrice di numeri casuali di dimensione 200×200 .

Facoltativo. Complessità : algoritmo di Horner.

Ci poniamo il problema di valutare il polinomio

$$p(x) = a_0 + a_1 \cdot x + \dots + a_n \cdot x^n \quad (7)$$

in un punto x .

Osserviamo che

$$p(x) = a_0 + x \cdot (a_1 + x \cdot (a_2 + \dots + x \cdot (a_{n-1} + x \cdot a_n))) \quad (8)$$

Supponiamo sia $a = (a_0, \dots, a_n)$ il vettore di dimensione $n+1$ delle componenti del polinomio. Possiamo valutare il polinomio tramite i seguenti due algoritmi, il primo che valuta direttamente il polinomio secondo quanto descritto in (7), il secondo che effettua la stessa operazione come descritto in (8) calcolando dapprima $s_1 = a_{n-1} + x \cdot a_n$, poi $s_2 = a_{n-2} + x \cdot s_1$ e così via.

Complessità : algoritmo di Horner.

In Matlab avremo allora

```
function s=algoritmo1(a,x)
xk=1; s=a(1);
for i=2:length(a)
    xk=xk*x;
    s=s+a(i)*xk;
end
```

e

```
function s=algoritmo2(a,x)
L=length(a);
s=a(L); % COMPONENTE a_n IMMAGAZZINATA IN a(n+1).
for i=L-1:-1:1
    s=a(i)+x*s;
end
```

Complessità : algoritmo di Horner.

Se lanciamo il codice `demo_horner` per la valutazione di $p(x) = 1 + 2 \cdot x + 3 \cdot x^2 + 4 \cdot x^3$ in $x = \pi$

```
clear all;
a=[1 2 3 4];
x=pi;
y1=algoritmo1(a,x);
y2=algoritmo2(a,x);
format long;
y1
y2
```

otteniamo

```
>> demo_horner
ans = 1.609171052316469e+02
y1 = 1.609171052316469e+02
y2 = 1.609171052316469e+02
>>
```

Complessità : algoritmo di Horner.

La differenza sta nella complessità computazionale e non nel risultato numerico. Il primo codice richiede $2n$ moltiplicazioni e n somme, mentre il secondo algoritmo n moltiplicazioni e n somme.